

F-1.- Granodiorita de Monesterio



F-2.- Granodiorita de Monesterio con diques aplíticos



F-3.- Leucogranitos gneísicos con facies aplíticas y pegmatíticas



F-4.- Dique aplíti
co plegado



F-5.- Leucogranito cordierítico gneisificado ocupando una charnela de pliegue



F-6.- Migmatita con difernciados aplíticos cordieríticos



F-7.- Anfibolita de alto grado



F-8.- Esquistos biotíticos con andalucita



F-9.- Esquistos biotíticos



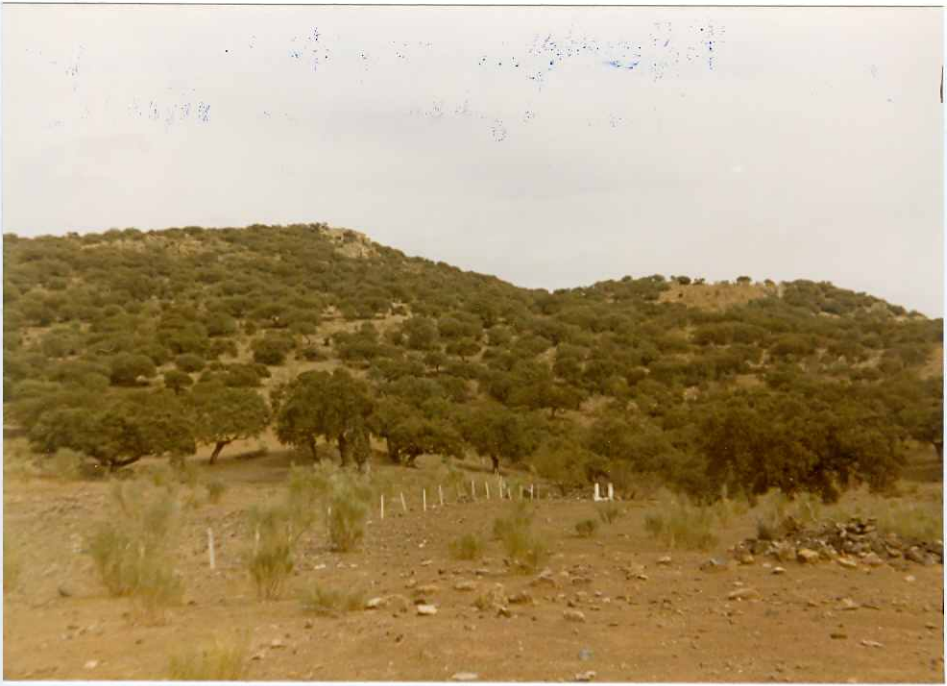
F-10.- Esquistos biotíticos. Detalle de repliegues



F-11.- Lecho de anfibolitas



F-12.- Cuarcitas negras en esquistos biotíticos. El martillo señala la linea ción plegada en la charnela visible.



F-13.- Cuarcitas negras. Relieve de Sierra Gigonza



F-14.- Metadiabasa en esquistos biotíticos



P-15.- Dique ácido cortando a - esquistos



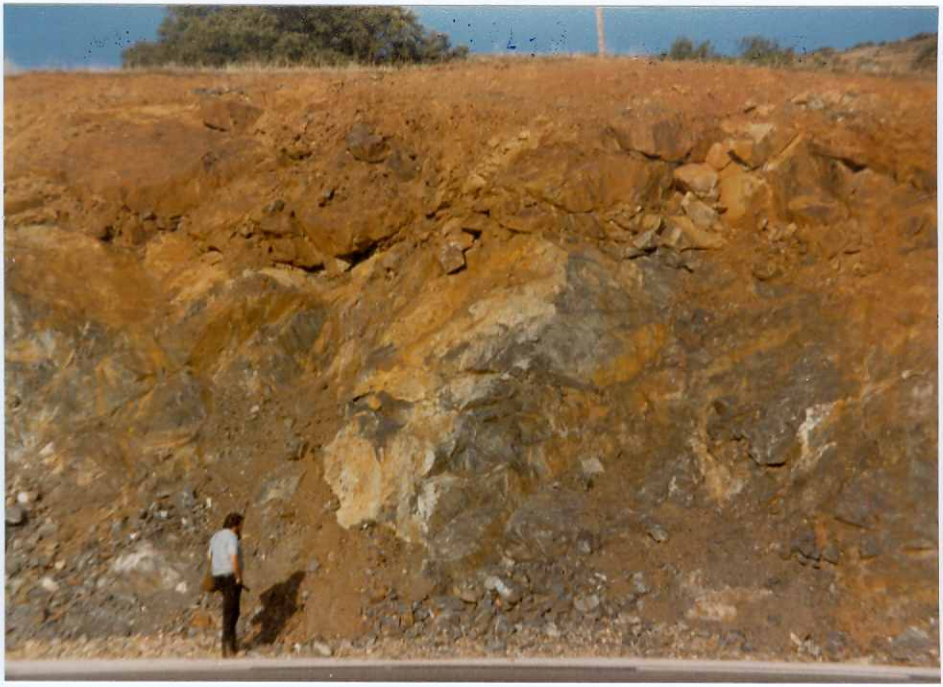
F-16.- Pliegue en metagrauvacas y pizarras alternantes



F-17.- Detalle fo
to anterior



F-18.- Lecho de metatobas con fenocristales



F-19.- Anfibolitas y cuarcitas negras (encima) intercaladas en pizarras y metagrauvacas



F-20.- Metatobas cristalinas



F-21.- Detalle foto anterior. Cristales rosados de feldespato.



F-22.- Granito biotítico de la Tablada



F-23.- Vista del granito del Castillo



F-24.- Granito anfibolítico del Castillo



F-25.- Tonalita del Culebrin



F-26.- Dique de diabasa



F-27.- Pliegue isoclinal (1ª fase hercínica), en mármoles calcodolomíticos con niveles detríticos finos Formación carbonatada, unidad de Arroyomolinos.



F-28.- Vista de la cantera existente al Sureste de Arroyo molinos (mármoles calcodolomíticos con niveles - pizarrosos).



F-29.- Pliegues de la 3ª fase hercínica en la formación carbonatada de la unidad de Herrerias.



F-30.- Facies de calizas rizadas y pizarras con nódulos carbonatados



F-31.- Pliegues en niveles transicionales entre metacine
ritas y metatobas cristalinas.



F-32.- Niveles de S_o en materiales grauváquico-pizarrosos. Tramo de pizarras laminadas con frecuentes - bioturbaciones